

С 346,48

18/ix-7

X-303

СООБЩЕНИЯ
ОБЪЕДИНЕННОГО
ИНСТИТУТА
ЯДЕРНЫХ
ИССЛЕДОВАНИЙ

Дубна

3194/2-72

Pi-6414



М.С.Хвастунов

ЛАБОРАТОРИЯ ВЫСОКИХ ЭНЕРГИЙ

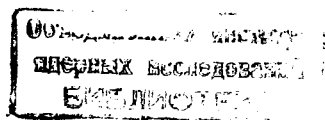
ВОССТАНОВЛЕНИЕ
ДИФФЕРЕНЦИАЛЬНОГО СЕЧЕНИЯ РЕАКЦИИ
 $\pi^- p \rightarrow \pi^0 (\eta) n$
В ОБЛАСТИ
МАЛЫХ ПЕРЕДАВАЕМЫХ ИМПУЛЬСОВ

1972

P1-6414

М.С.Хвастунов

ВОССТАНОВЛЕНИЕ
ДИФФЕРЕНЦИАЛЬНОГО СЕЧЕНИЯ РЕАКЦИИ
 $\pi^- p \rightarrow \pi^0 (\eta) n$
В ОБЛАСТИ
МАЛЫХ ПЕРЕДАВАЕМЫХ ИМПУЛЬСОВ



При сравнении экспериментальных данных по перезарядке $\pi^- p \rightarrow \pi^0(\eta) p$ с теоретическими расчётами важно знать дифференциальное сечение под нулем: $(d\sigma/dt)_{t=t_{min}}$ где t - квадрат передаваемого 4-импульса. Поскольку величина t_{min} близка к нулю, то в эксперименте по измерению $(d\sigma/dt)_{t=t_{min}}$ необходима высокая точность по t .

Величина t вычисляется по известной формуле

$$\bar{t} = m_0^2 + m^2 - 2E_0 E + 2p_0 p \cos \theta, \quad (1)$$

где m , E , p - масса, полная энергия и импульс $\pi^0(\eta)$ -мезона, m_0 , E_0 , p_0 - аналогичные величины для налетающего π^- -мезона, $\theta = (\vec{p}_{\pi^-}, \vec{p}_{\pi^0(\eta)})$ - угол вылета $\pi^0(\eta)$ -мезона. В системе центра масс ($\pi^- p$) энергия $\pi^0(\eta)$ -мезона постоянна (если фиксирован импульс налетающего π^- -мезона) и единственной переменной величиной является угол вылета θ . В системе центра масс ($\pi^- p$) с осью y , ориентированной вдоль импульса π^- -мезона, угол θ вычисляется по формуле

$$\cos \theta = \frac{a m_1 + m_2}{(1+a) \sqrt{1-1/\gamma^2}}, \quad (2)$$

где $m_1 = \cos(\vec{p}_{\pi^-}, \vec{p}_1)$, $m_2 = \cos(\vec{p}_{\pi^-}, \vec{p}_2)$, $\gamma = E/m$, $a = E_1/E_2$, а \vec{p}_1 , E_1 и \vec{p}_2 , E_2 - импульсы и энергии фотонов от распада $\pi^0(\eta)$ -мезона.

Параметр $a = E_1/E_2$ ($E_1 \leq E_2$) можно выразить через угол $\theta_{\gamma\gamma}$ разлета фотонов от распада $\pi^0(\eta)$ -мезона и полную энергию этого мезона:

$$a = (1 - \sqrt{1 - 1/\xi^2}) / (1 + \sqrt{1 - 1/\xi^2}), \quad (3)$$

где $\xi = \sin(\theta_{\gamma\gamma}/2) / \sin(\theta_m/2)$, $\sin(\theta_m/2) = m/E$.

Из приведенных формул видно, что при одних угловых измерениях распадных фотонов возможно с точностью до двузначности восстановление направления полета $\pi^0(\eta)$ -мезона. Оба возможных направления вычисляются по формуле (2), одному направлению соответствует значение параметра a , вычисленное по формуле (3), т.е. $a = E_1/E_2$ при $E_1 \leq E_2$, а другому направлению - обратная величина этого параметра $1/a = E_2/E_1$. Одно направление является истинным, а другое ложным. Двузначность появляется из-за того, что неизвестен более энергичный (менее энергичный) фотон из двух фотонов от распада $\pi^0(\eta)$ -мезона. Если в эксперименте, кроме угловых измерений, производятся также оценки энергий распадных фотонов, то из двух направлений можно выбрать одно, истинное. Такая процедура использовалась для восстановления направления полета $\pi^0(\eta)$ -мезона (см., например, /1/).

Необходимо отметить, что описанная процедура имеет существенный недостаток, заключающийся в том, что для практического ее применения с целью получения достаточно высокого разрешения по t необходима высокая точность измерения угла разлета $\theta_{\gamma\gamma}$ и энергии E $\pi^0(\eta)$ -мезона /2/. Действительно, как следует из формулы (3), ошибка в определении параметра a , от величины которой в основном зависит разрешение по t , вычисляется по формуле

$$\frac{\Delta a}{a} = \frac{2}{\beta} \left[\left(\frac{\Delta E}{E} \right)^2 + \left(\frac{\Delta \theta_{\gamma\gamma}}{2 \operatorname{tg}(\theta_{\gamma\gamma}/2)} \right)^2 \right]^{1/2}, \quad (4)$$

где $\beta = \sqrt{1 - 1/\xi^2}$. Параметр β изменяется от 0 (при $\xi = 1$) до -1 (при $\xi \gg 1$). В экспериментальных работах обычно используется область углов разлета $\theta_{\gamma\gamma}$, близких к минимальному углу θ_m ($\xi \approx 1$). В цитированных выше работах /1/ параметр ξ изменялся от -1 до -1,15. При этом параметр β принимал значения от 0 до -0,5. Именно в этом интервале углов $\theta_{\gamma\gamma}$ из-за малости параметра β требуется высокая точность измерения величин $\theta_{\gamma\gamma}$ и

Е. Требования к точности измерения энергии Е и угла $\theta_{\gamma\gamma}$ можно понизить, если из анализа исключать события с параметром β , близким к нулю.

Оценку необходимых точностей можно получить, анализируя известную схему постановки эксперимента по измерению дифференциального сечения реакции $\pi^- p \rightarrow \pi^0(\eta) p$. Основные элементы этой схемы - сцинтилляционные счётчики и искровые камеры, предназначенные для определения числа и направлений первичных π^- -мезонов, жидководородная мишень с системой вето-счётчиков, искровые камеры с веществом и ливневые детекторы, предназначенные для измерения углов вылета и энергий фотонов от распада $\pi^0(\eta)$ -мезона.

Для сравнения приведем оценки для двух способов: в первом способе параметр a определяется по измеренным значениям энергий E_1 и E_2 распадных фотонов ($a = E_1 / E_2$), во втором способе - по углу разлета и энергии $\pi^0(\eta)$ -мезона ($a=(1-\beta)/(1+\beta), \beta=\sqrt{1-1/\xi^2}$). Ошибки в t определяются по формулам:

$$\Delta t/t \approx 2(a_\alpha^2 + a_x^2 + a_\ell^2 + a_{\theta_0}^2)^{1/2} \quad (a = E_1 / E_2) \quad (5)$$

и

$$\Delta t/t \approx 2(b_{p_0}^2 + b_x^2 + b_\ell^2 + b_{\theta_0}^2)^{1/2}, \quad (a = (1-\beta)/(1+\beta)), \quad (6)$$

где

$$a_\alpha = \frac{m}{\sqrt{|t|}} \frac{c}{\sqrt{E_0}}, \quad a_x = \sqrt{\frac{1+\beta^2}{2}} \frac{p_0}{\sqrt{|t|}} \frac{\Delta x}{\ell}, \quad a_\ell = \Delta \ell / \ell,$$

$$a_{\theta_0} = \frac{k}{\sqrt{|t|}} \sqrt{\frac{\ell_H}{2x_H}}, \quad b_{p_0} = \frac{\sqrt{1-\beta^2}}{\beta} \frac{m}{\sqrt{|t|}} \frac{\Delta p_0}{p_0},$$

$$b_x = \frac{1}{\sqrt{2}} \frac{\sqrt{1+\beta^2} p_0}{\beta \sqrt{|t|}} \frac{\Delta x}{\ell}, \quad b_\ell = \left(\frac{\sqrt{1-\beta^2}}{\beta} \frac{m}{\sqrt{|t|}} - 1 \right) \frac{\Delta \ell}{\ell},$$

$b_{\theta_0} = a_{\theta_0}$ и m - масса $\pi^0(\eta)$ -мезона, c - константа ливневого детектора, определяемая из соотношения $\Delta E_0/E_0 = c/\sqrt{E_0}$ (ΔE_0 - ошибка измерения

энергии E_γ фотона ливневым детектором при $E_\gamma = E_0$), Δx — точность измерения координаты вершины ливня от фотона (в направлении, перпендикулярном оси пучка), l — расстояние от центра мишени до вершины ливня, $\Delta l = l_H / 2$, l_H — длина мишени, $k = 0,021$ Гэв, x_H — радиационная длина для жидкого водорода. Слагаемое $a_{\theta_0}(b_{\theta_0})$, соответствующее угловой ошибке для налетающего π^- -мезона, включает только ошибку, обусловленную кулоновским рассеянием π^- -мезона в жидком водороде; предполагается, что вклад других составляющих незначителен (с высокой точностью измеряется направление π^- -мезона до мишени). Формулы (5) и (6) получены для случая, когда все три вектора, \vec{p}_1^+ , \vec{p}_2^+ и \vec{p}_{π^-} , лежат в одной плоскости, при этом ошибка в t максимальна — по формулам (5) и (6) получаются оценки верхней границы для $\Delta t / t$.

В качестве примера приведем результаты оценки ошибки $\Delta t / t$ для реакций $\pi^- p \rightarrow \pi^0 n$ и $\pi^- p \rightarrow \eta n$ при $p_{\pi^-} = 40$ Гэв/с и $c/\sqrt{E_0} = 0,05$, $\Delta x = 0,5$ мм, $l = 40$ м и 20 м (для реакций $\pi^- p \rightarrow \pi^0 n$ и $\pi^- p \rightarrow \eta n$ соответственно), $\Delta l = 5$ см, $l_H = 10$ см, $x_H = 8,2$ м, $\beta = 0,9$ и $\Delta p_0/p_0 = 0,001$ (предполагается, что импульс p_0 налетающего π^- -мезона для каждого события измеряется точно с помощью системы маркировки пучковых частиц). В табл. 1 приведены результаты расчёта для реакции $\pi^- p \rightarrow \pi^0 n$.

Из табл. 1 видно, что в первом способе ($\alpha = E_1/E_2$) основной вклад в $\Delta t / t$ вносит ошибка измерения энергии распадных фотонов от π^0 -мезона (слагаемое a_α), а во втором способе ($\alpha = (1-\beta)/(1+\beta)$) точность измерения параметра t ограничена кулоновским рассеянием налетающего π^- -мезона в мишени (слагаемое b_{θ_0}) и координатной точностью искровой камеры (слагаемое b_x).

В табл. 2 приведены оценки точности измерения t для реакции $\pi^- p \rightarrow \eta n$.

Из табл. 2 видно, что в первом способе (как и для реакции $\pi^- p \rightarrow \pi^0 n$) основной вклад в $\Delta t / t$ вносит ошибка измерения энергий фотонов, а во втором способе — ошибки измерения координат вершин ливней от фотонов (слагаемые b_{θ} и b_x). Точность измерения параметра t во втором способе можно повысить, увеличив расстояние от мишени до искровых камер и отбирая для анализа случаи асимметричных распадов $\pi^0(\eta)$ -мезонов (случаи с большими значениями параметра β).

Из табл. 1 и 2 следует, что при восстановлении дифференциального сечения реакции $\pi^- p \rightarrow \pi^0 n$ ($\pi^- p \rightarrow \eta n$) в области малых передаваемых импульсов точность второго способа ($a = (1-\beta)/(1+\beta)$) при выбранных условиях в $\sim 3(5)$ раз выше точности первого способа ($a = E_1 / E_2$).

Автор благодарен М.И. Адамовичу и Л.Н. Струнову за полезные обсуждения.

Таблица 1
Ошибки в t для реакции $\pi^- p \rightarrow \pi^0 n$

	$-t(\Gamma_{эв}/c)^2$	0,001	0,005
$\alpha = E_1/E_2$	a_d	0,214	0,095
	a_x	0,012	0,010
	a_l	0,001	0,001
	a_{00}	0,052	0,023
	$\Delta t/t$	0,43	0,19
	$\alpha = (1-\beta)/(1+\beta)$	b_{p0}	0,014
b_x		0,039	0,017
b_l		0,016	0,007
b_{00}		0,052	0,023
$\Delta t/t$		0,14	0,06

Таблица 2

Ошибки в t для реакции $\pi^- p \rightarrow \eta p$

	$-t$ (ГэВ/с) ²	0,001	0,005
$\alpha = E_1/E_2$	a_x	0,868	0,388
	a_z	0,023	0,010
	a_φ	0,002	0,001
	a_{φ_0}	0,052	0,023
	$\Delta t/t$	1,74	0,78
$\alpha = (1-\beta)/(1+\beta)$	b_{φ_0}	0,055	0,025
	b_x	0,078	0,035
	b_φ	0,136	0,061
	b_{φ_0}	0,052	0,023
	$\Delta t/t$	0,35	0,16

Литература

1. P.Borgeaud et al. Phys.Lett., 10, 134 (1964);
A.V.Stirling et al. Phys.Rev.Lett., 14, 763 (1965);
O.Guisan et al. Phys.Lett., 18, 200 (1965).
2. М.С. Хвастунов. Автореферат диссертации, ОИЯИ, 1-5220, Дубна, 1970.

Рукопись поступила в издательский отдел
24 апреля 1972 года.